

一种基于过程噪声控制的弹道滤波方案

常思江¹, 王中原¹, 韩成辉²

(1. 南京理工大学动力工程学院, 江苏 南京 210094; 2. 中国兵器工业第二〇八研究所, 北京 102202)

摘要 弹道滤波是精确获取弹箭飞行弹道参数的关键技术之一。当采用卡尔曼滤波进行弹道滤波时, 系统模型偏差可能导致滤波精度的降低。以某低旋尾翼弹为对象, 对此问题进行了研究。提出一个较精确且便于工程应用的扩展质点弹道模型, 由此建立了弹箭飞行状态方程; 在坐标雷达体制下建立了量测方程; 仿真分析了系统模型偏差对弹道滤波性能的影响, 并提出一个基于过程噪声控制的弹道滤波方案。仿真结果表明: 该方案可有效克服模型偏差的不利影响, 弹箭侧偏的估计误差可减小50%以上, 且系统计算量增加较少。研究结果可为弹道滤波的工程应用提供一定的参考。

关键词 弹箭; 状态估计; 卡尔曼滤波; 弹道模型; 过程噪声

DOI 10.3969/j.issn.1009-3516.2011.01.011

中图分类号 TJ765.4 **文献标识码** A **文章编号** 1009-3516(2011)01-0051-04

各类低成本有控弹药是当前弹箭技术的重点发展方向之一。为了提高这些有控弹箭的打击精度, 必须为其提供较为精确的飞行弹道参数。由于探测系统(如坐标雷达、卫星定位系统等)直接提供的测量信息往往含有较大的随机噪声, 因而有必要对弹箭飞行状态进行实时的最优估计, 这一过程在外弹道学中称作弹道滤波^[1]。弹道滤波方法包括最小二乘滤波、卡尔曼滤波、衰减记忆滤波等, 其中以卡尔曼滤波的工程应用较为广泛。近年来国内外也有相应的理论研究, 如文献[2-6]利用卡尔曼滤波对各种探测系统的测量信息进行估计, 以得到较为准确的弹道参数。然而, 在工程应用中存在这样一个问题: 卡尔曼滤波是以系统模型为基础, 其估计效果依赖于系统模型的精度, 而弹箭在飞行过程中不可避免地会受到各种扰动的影响(如阵风或控制力等), 此时其实际飞行状态与飞行力学模型将产生较大差异, 严重时可导致弹道滤波精度的显著降低(以致难以接受), 而上述文献对该问题鲜有论及。对此, 本文以某低旋尾翼弹为对象, 建立了一个扩展质点弹道模型, 其较普通质点弹道模型更为精确且便于工程应用, 并在弹道滤波过程中考虑了系统模型偏差的影响, 由此提出一个基于过程噪声控制的弹道滤波方案, 以期对上述问题的解决提供一定的参考。

1 弹道滤波模型

1.1 弹箭飞行状态方程

克服系统模型偏差影响的途径之一便是建立较为精确的弹道模型, 但考虑到工程应用的实时性要求, 本文在普通质点弹道模型^[7]的基础上, 考虑了由弹箭动力平衡角侧向分量 δ_p 所产生的侧向升力 R_c (实际上也就是考虑了弹箭旋转产生的侧偏), 建立如下扩展质点弹道模型:

* 收稿日期: 2010-04-08

作者简介: 常思江(1983-), 男, 江苏南京人, 博士生, 主要从事有控弹箭飞行控制理论与技术、外弹道仿真与设计研究. E-mail: ballistics@126.com

$$\left\{ \begin{array}{l} \frac{dx}{dt} = V_x; \quad \frac{dy}{dt} = V_y; \quad \frac{dz}{dt} = V_z \\ \frac{dV_x}{dt} = -\frac{\rho S C_D}{2m} V_r (V_x - W_x) \\ \frac{dV_y}{dt} = -\frac{\rho S C_D}{2m} V_r (V_y - W_y) - \tilde{g} \\ \frac{dV_z}{dt} = -\frac{\rho S C_D}{2m} V_r (V_z - W_z) + \frac{R_z}{m} \\ V_r = \sqrt{(V_x - W_x)^2 + (V_y - W_y)^2 + (V_z - W_z)^2} \end{array} \right. \quad (1)$$

式中各符号含义参见文献[7]。

侧向升力 R_z 可由下式估算^[8]：

$$R_z = \frac{1}{2} \rho V_r^2 S C'_y \delta_{2p} = \frac{1}{2} \rho V_r^2 S C'_y \left(\frac{I_x}{I_y} \right) \frac{\gamma g \cos \theta}{k_z V_r^3} \quad (2)$$

式中： C'_y 为弹箭升力系数导数； I_y 为弹体赤道转动惯量； I_x 为极转动惯量； γ 为弹体转速，对于低旋尾翼弹可取其平衡转速，即 $\gamma = \frac{m'_{xw} \varepsilon_w V_r}{m'_{xd}}$ ，式中： m'_{xw} 为尾翼导转力矩系数导数； ε_w 为尾翼导转角； m'_{xd} 为极阻尼力矩系数导数； $k_z = \frac{\rho S l m'_z}{(2I_y)}$ ，式中 m'_z 为静力矩系数导数； l 为弹箭特征长度；其余符号参见文献[7-8]。

取地面坐标系中的3个位置分量和3个速度分量为状态变量，记为 $\mathbf{X} = [x \ y \ z \ V_x \ V_y \ V_z]^T$ 。根据上述弹道模型，可得到弹箭飞行状态方程如下：

取地面坐标系中的3个位置分量和3个速度分量为状态变量，记为 $\mathbf{X} = [x \ y \ z \ V_x \ V_y \ V_z]^T$ 。根据上述弹道模型，可得到弹箭飞行状态方程如下：

$$\dot{\mathbf{X}} = f(\mathbf{X}) + \mathbf{G}\mathbf{u} + \mathbf{w} = \begin{bmatrix} V_x \\ V_y \\ V_z \\ -\frac{\rho S C_D}{2m} V_r (V_x - W_x) \\ -\frac{\rho S C_D}{2m} V_r (V_y - W_y) \\ -\frac{\rho S C_D}{2m} V_r (V_z - W_z) + \frac{R_z}{m} \end{bmatrix} + \begin{bmatrix} 0 \\ 0 \\ 0 \\ 0 \\ -g \\ 0 \end{bmatrix} + \begin{bmatrix} 0 \\ 0 \\ 0 \\ 0 \\ 0 \\ u_s \end{bmatrix} \quad (3)$$

式中： $\mathbf{G}\mathbf{u} = [0 \ 0 \ 0 \ 0 \ -g \ 0]^T$ ，表示系统的控制输入，这里仅为重力加速度； $\mathbf{w} = [0 \ 0 \ 0 \ 0 \ 0 \ u_s]^T$ 表示过程噪声，它反映了弹道模型与弹箭实际飞行状况的差异， u_s 即为弹箭侧向加速度的系统模型偏差。

过程噪声方差矩阵为：

$$\mathbf{Q} = E[\mathbf{w}\mathbf{w}^T] = \begin{bmatrix} \mathbf{0}_{5 \times 5} & \mathbf{0}_{5 \times 1} \\ \mathbf{0}_{1 \times 5} & \varphi_s \end{bmatrix} \quad (4)$$

式中： $\varphi_s = E(u_s^2)$ ，表示过程噪声的谱密度； E 为期望算子。

1.2 坐标雷达探测下的量测方程

本文以坐标雷达探测体制为例。在实际射击时，雷达一般不会恰好置于炮位，则建立天线坐标系 $A - x_A y_A z_A$ ，坐标雷达的量测值即斜距 r 、方位角 ϕ 和高低角 ε 在该坐标系中测得。图1所示为天线坐标系 $A - x_A y_A z_A$ 、地面坐标系 $O - xyz$ 及各量测值之间的关系。

由图1，可得到雷达探测量与地面坐标系的关系为：

$$\begin{aligned} r &= \sqrt{(x - x_a)^2 + (y - y_a)^2 + (z - z_a)^2} \\ \phi &= \arctan \left[\frac{(z - z_a)}{(x - x_a)} \right] \\ \varepsilon &= \arctan \left[\frac{(y - y_a)}{\sqrt{(x - x_a)^2 + (z - z_a)^2}} \right] \end{aligned} \quad (5)$$

式中 (x_a, y_a, z_a) 为雷达天线中心(即天线坐标系的原点 A) 在地面坐标系中的 3 个分量。

建立量测方程如下:

$$\mathbf{Z} = h(\mathbf{X}) + \mathbf{v} \quad (6)$$

式中: $\mathbf{Z} = [r \ \phi \ \varepsilon]^T$ 为坐标雷达的观测量阵列; $h(\mathbf{X})$ 即为式(5); \mathbf{v} 为雷达测量噪声, 仿真时假设为零均值高斯白噪声, 则离散形式的量测噪声方差矩阵为:

$$\mathbf{R}_k = E[\mathbf{v}_k \mathbf{v}_k^T] = \begin{bmatrix} \sigma_r^2 & 0 & 0 \\ 0 & \sigma_\phi^2 & 0 \\ 0 & 0 & \sigma_\varepsilon^2 \end{bmatrix} \quad (7)$$

式中: σ_r^2 、 σ_ϕ^2 、 σ_ε^2 分别为斜距、方位角、高低角的量测噪声方差, 3 者相互独立。

1.3 卡尔曼滤波模型

根据以上系统状态方程和量测方程, 可构造离散形式的卡尔曼滤波方程如下:

$$\hat{\mathbf{X}}_k = \bar{\mathbf{X}}_k + \mathbf{K}_k \cdot [\mathbf{Z}_k - \mathbf{H}(\bar{\mathbf{X}}_k)] \quad (8)$$

式中: 下标 k 表示第 k 时刻; $\hat{\mathbf{X}}_k$ 为最优估计值; \mathbf{Z}_k 为含噪的雷达量测值; $\bar{\mathbf{X}}_k$ 为系统状态预测值; $\mathbf{H}(\bar{\mathbf{X}}_k)$ 可由式(5)计算; \mathbf{K}_k 为卡尔曼增益, 可通过求解如下形式的 Ricatti 方程^[9] 得到。

$$\begin{aligned} \mathbf{M}_k &= \Phi_k \mathbf{P}_{k-1} \Phi_k^T + \mathbf{Q}_k \\ \mathbf{K}_k &= \mathbf{M}_k \mathbf{H}^T (\mathbf{H} \mathbf{M}_k \mathbf{H}^T + \mathbf{R}_k)^{-1} \\ \mathbf{P}_k &= (\mathbf{I} - \mathbf{K}_k \mathbf{H}) \mathbf{M}_k \end{aligned} \quad (9)$$

式中: \mathbf{P}_k 为估计值的协方差矩阵; \mathbf{I} 为单位矩阵; \mathbf{M}_k 为辅助矩阵; 系统基本矩阵 $\Phi_k \approx \mathbf{I} + \mathbf{F} \cdot T_s$, 式中 $\mathbf{F} = \left. \frac{\partial f(\mathbf{X})}{\partial \mathbf{X}} \right|_{\mathbf{X}=\bar{\mathbf{X}}}$, T_s 为滤波采样间隔; 系统量测矩阵 $\mathbf{H} = \left. \frac{\partial h(\mathbf{X})}{\partial \mathbf{X}} \right|_{\mathbf{X}=\bar{\mathbf{X}}}$ 。

2 基于过程噪声控制的弹道滤波及仿真结果

2.1 系统模型偏差对弹道滤波的影响

为说明问题, 这里假设某弹丸出炮口后无控飞行, 在 15 s 时刻受到冲量大小为 $20 \text{ N} \cdot \text{s}$ 的侧向脉冲控制作用后继续飞行直至 30 s 时刻。在这一过程中, 滤波采样间隔取 $T_s = 0.5 \text{ s}$, 并令 $u_s = 0$, 则弹箭的侧偏估计结果见图 2。

由图 2 知, 当受到脉冲作用后, 弹箭的侧偏与原有无控弹道侧偏相差较大(可达 80 m)。在弹道滤波过程中, 在受到脉冲控制作用前(15 s 时刻之前)尚可较好地估计实际弹道(误差在 $\pm 10 \text{ m}$ 以内), 当脉冲作用以后, 尽管系统不断地利用雷达测量值进行校正, 估计值仍难以很好地跟踪实际弹道(误差可达 40 m)并呈发散趋势。产生这一现象的根本原因是由于弹道模型发生了突变, 而滤波时仍然采用原有无控弹道模型, 则造成较大的系统偏差, 对于卡尔曼滤波方法而言, 这一系统偏差将导致估计误差的急剧增大, 以致难以满足工程应用的精度要求。

2.2 过程噪声控制函数

为解决上述问题, 这里将通过控制过程噪声进行自适应弹道滤波。首先给出理论误差 $E_t = \sqrt{\mathbf{H} \mathbf{M}_k \mathbf{H}^T + \mathbf{R}_k}$ 及滤波残差 $R_{ES} = \mathbf{Z}_k - \mathbf{H}(\bar{\mathbf{X}}_k)$ 的定义^[9-10], 则具体算法为: 在求解 Ricatti 方程(9)的过程中, 每一时刻计算 E_t 和 R_{ES} 并进行判断, 当满足 $|R_{ES}| > \alpha E_t$ 时, 则产生自适应控制函数 $\varphi_{s,k} = \eta(\varphi_{s,k-1})$ 。式中: α 为估计误差容许系数, $\varphi_{s,k}$ 、 $\varphi_{s,k-1}$ 分别为第 k 和 $k-1$ 时刻的过程噪声谱密度, 控制函数 $\eta(\varphi_s)$ 可取为 $\varphi_{s,k} = K_\varphi \varphi_{s,k-1}$, 式中 K_φ 为比例系数。图 3 为自适应弹道滤波方案的估计结果, 图 4 为 2 种弹道滤波方案的估计误差曲线, 仿真条件与图 2 相同。

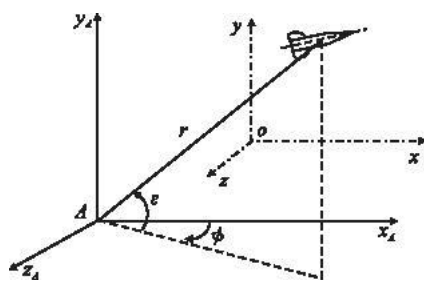
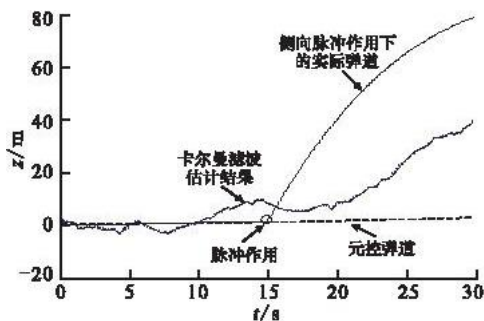


图 1 天线坐标系与地面坐标系
Fig. 1 Antenna coordinate system and ground coordinate system



2 脉冲控制作用下的弹箭飞行状态估计曲线
Fig. 2 Estimation of lateral range with the action of impulse

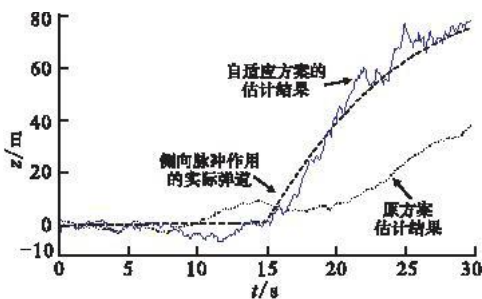


图3 基于过程噪声控制的弹箭飞行状态估计曲线

Fig. 3 Estimation of lateral range based on the process noise control

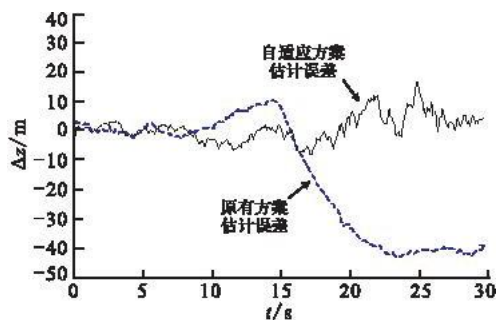


图4 2种方案的估计误差比较

Fig. 4 Comparison of estimation error between two schemes

由图3-4知,引入过程噪声自适应控制后,当弹箭受到脉冲控制力的作用(飞行状态发生突变),采用原有系统模型仍可使状态估计值与实际弹道参数吻合较好,尽管增加了部分高频噪声,但相比原有方案,其估计误差减小50%以上,且并未给系统增加太多的计算量。值得说明的是,由于克服不同类型、不同大小模型偏差所需过程噪声是不同的,因而有必要根据具体的弹箭系统参数及性能指标要求,合理地选取 α 、 K_0 等参数,以提高弹道滤波的性能。

3 结束语

弹道滤波的实际应用过程中存在着弹箭飞行状态模型偏差的问题,极易导致滤波精度的破坏。为解决这一问题,本文考虑了弹箭动力平衡角的影响,建立了扩展质点弹道模型,同时考虑了弹箭侧向加速度的模型偏差,仿真分析了系统模型偏差对弹道滤波性能的影响,由此提出一个基于过程噪声控制的弹道滤波方案。结果表明,采用该方案可使弹箭侧偏的估计误差减小50%以上,且并未增加过多的系统计算量,因而具有较高的可行性和有效性。本文的研究结果可为弹道滤波的工程应用提供一定的参考。

参考文献:

- [1] 徐明友. 高等外弹道学[M]. 北京: 高等教育出版社, 2003.
XU Mingyou. Advanced exterior ballistics[M]. Beijing: Higher education press, 2003. (in Chinese)
- [2] Ohlmeyer Ernest J, Pepitone Thomas R, Fraysse John W, et al. Navigation and control without gyros: A gun-launched munition concept[C]// AIAA guidance navigation and control conference and exhibit. Monterey, California: AIAA press, 2002: 1-14.
- [3] Changey S, Fleck V, Beauvois D. Projectile attitude and position determination using magnetometer sensor only[J]. Proceedings of SPIE, 2005, 58(3): 49-58.
- [4] Sebastien Changey, Dominique Beauvois, Volker Fleck. A mixed extended-unscented filter for attitude estimation with magnetometer sensor[C]// Proceeding of the 2006 American control conference. Minneapolis, Minnesota: [s. n.], 2006: 14-16.
- [5] Lee HanSung, Kim Kwangjin, Park HeeYoung, et al. Roll estimation of a smart munition using a magnetometer based on an unscented kalman filter[C]// AIAA Guidance, navigation and control conference and exhibit. Honolulu, Hawaii: AIAA press, 2008: 1-20.
- [6] 史金光, 徐明友, 王中原, 等. 卡尔曼滤波在弹道修正弹落点推算中的应用[J]. 弹道学报, 2008, 20(3): 41-43.
SHI Jinguang, XU Mingyou, WANG Zhongyuan, et al. Application of Kalman filtering in calculation of trajectory falling point of trajectory correction projectiles[J]. Journal of ballistics, 2008, 20(3): 41-43. (in Chinese)
- [7] Robert L, Mc Coy. Modern exterior ballistics: the launch and flight dynamics of symmetric projectiles[M]. Schiffer: Atten, 1999.
- [8] 韩子鹏. 弹箭外弹道学[M]. 北京: 北京理工大学出版社, 2008.
HAN Zipeng. Exterior ballistics for projectiles[M]. Beijing: Beijing Institute of technology press, 2008. (in Chinese)